

伴3号染色体异常的骨髓增生异常综合征临床特性分析

高盼盼 陈莹 吴莹 邬宁宁 石淙 邹多兵 牧启田

【摘要】目的 分析伴3号染色体异常的骨髓增生异常综合征(MDS)患者的临床特征。 **方法** 回顾性分析283例MDS患者的临床资料,观察伴3号染色体异常患者的临床特征,并与伴其他染色体异常患者作比较;比较伴3号染色体异常与复杂核型、单体核型患者的情况。 **结果** 283例患者中伴3号染色体异常的有13例(4.59%),其中MDS-EB-2型10例,MDS-EB-1型1例,MDS-MLD型1例,MDS-U型1例。伴3号染色体异常患者中 $\text{del}(3q)$ 4例; $\text{t}(3q)$ 4例,其中 $\text{t}(3;3)$ 易位1例; $\text{der}(3q)$ 3例; $3p$ 异常2例。伴3号染色体异常患者与伴其他染色体异常患者性别、年龄、ANC、Hb、PLT比较差异均无统计学意义(均 $P>0.05$);伴3号染色体异常患者骨髓原始细胞比例、复杂核型比例、单体核型比例均高于伴其他染色体异常患者(均 $P<0.05$)。13例伴3号染色体异常患者中5例转化为急性髓系白血病(AML),中位转白时间3.7个月,中位生存时间8.0个月。伴3号染色体异常与复杂核型、单体核型患者1年生存率分别为46.15%、53.57%、58.67%,伴3号染色体异常患者1年生存率与复杂核型、单体核型MDS患者比较差异均无统计学意义(均 $P>0.05$)。 **结论** 伴3号染色体异常在MDS患者中并不少见,多为MDS-EB-2型,多属于单体核型或复杂核型,转化AML的风险明显增加,预后极差。

【关键词】 3号染色体异常 骨髓增生异常综合征 临床特征 预后

Clinical features of myelodysplastic syndrome with chromosome 3 abnormality
GAO Panpan, CHEN Ying, WU Ying, et al. Medical College, Ningbo University, Ningbo 315000, China

【Abstract】Objective To analyze the clinical features of myelodysplastic syndrome(MDS) with chromosome 3 abnormality. **Methods** The clinical data of 283 MDS patients were retrospectively reviewed. The clinical characteristics of MDS patients with chromosome 3 abnormality were compared with those of MDS patients with other chromosome abnormality. Meanwhile, the prognosis of MDS patients with chromosome 3 abnormality, complex karyotype and monomer karyotype was compared. **Results** Of 283 cases of patients with MDS, chromosome 3 aberration was detected in 13(4.59%) cases. Among them, 10 cases were MDS-EB-2, 1 case was MDS-EB-1, 1 case was MDS-MLD and 1 case was MDS-U. $\text{Del}(3q)$ was found in 4 cases, and $\text{t}(3q)$ was also found in 4 cases including 1 case of $\text{t}(3;3)$. Besides, there were 3 cases of $\text{der}(3q)$ and 2 cases of $3p$ anomaly. There was no significant difference in gender, age, ANC, Hb, PLT between MDS patients with chromosome 3 abnormality and MDS patients with other chromosome abnormality(all $P>0.05$). The proportion of bone marrow primitive cells, complex karyotype and monomer karyotype in MDS patients with chromosome 3 abnormality was higher than that in MDS patients with other chromosome abnormality(all $P<0.05$). Among 13 patients with MDS with chromosome 3 abnormality, 5 patients were converted to acute myeloid leukemia(AML), with median bleaching time of 3.7 months and median survival time of 8.0 months. The 1-year survival rate of patients with MDS with chromosome 3 abnormality and complex karyotype and monomer karyotype was 46.15%, 53.57% and 58.67%, respectively. There was no significant difference in the survival time between patients with MDS with chromosome 3 abnormality and those with complex karyotype MDS and monomer karyotype MDS($P>0.05$). **Conclusion** Chromosome 3 aberration is not rare in MDS, the MDS-EB-2 subtype is most common and tends to accompany with monosomal karyotype or complex karyotype. The risk of AML transfer is increased significantly and the prognosis is poor.

【Key words】 Chromosome 3 aberration Myelodysplastic syndrome Clinical characteristics Prognosis

DOI:10.12056/j.issn.1006-2785.2019.41.10.2018-3268

基金项目:浙江省自然科学基金资助项目(LY14H080001);宁波市科技计划项目(2014A610217)

作者单位:315000 宁波大学医学院(高盼盼);宁波市第一医院干细胞移植实验室(陈莹、吴莹、邬宁宁、石淙、邹多兵、牧启田)

通信作者:牧启田,E-mail:muqitian@163.com

骨髓增生异常综合征(MDS)是一组起源于造血干细胞的高度异质性髓系克隆性疾病,主要表现为骨髓衰竭、外周血细胞减少、骨髓细胞的发育异常和高风险转化为急性髓系白血病(AML)。MDS的临床表现和预后均存在很大异质性^[1],因此对MDS进行准确预后评估是制订治疗方案前必不可少的步骤。目前,临幊上常用的WHO分型预后评分系统(WPSS)、国际预后评分系统(IPSS)及国际预后评分系统修订版(IPSS-R)等MDS预后评价体系均以细胞遗传学异常作为基础^[2]。2016年WHO已经将涉及3号染色体短臂(3q)异常[包括inv(3)、t(3q)和del(3q)]的MDS在细胞遗传学5分类中归属为染色体预后较差类型^[3-4]。然而,目前临幊对伴3号染色体异常MDS的临床特征及其与复杂核型、单体核型MDS的关系尚未完全清楚。因此,本研究对283例MDS患者的临幊资料进行回顾性分析,旨在探讨伴3号染色体异常MDS的临床特征,现报道如下。

1 对象和方法

1.1 对象 回顾性分析2007年1月至2017年1月宁波市第一医院门诊和住院诊治的283例MDS患者的临幊资料,诊断标准参照《MDS诊断与治疗中国专家共识》^[5]。患者按2016年WHO修订的MDS分型标准^[6]进行分型,包括MDS-SLD型(MDS伴单系发育异常)、MDS-MLD型(MDS伴多系发育异常)、MDS-RS型(MDS伴环形铁粒幼细胞)、5q-综合征型[伴单独del(5q)或伴随一条除-7/7q-的染色体异常]、MDS-EB型(MDS伴原始细胞过多)、MDS-EB-1型(骨髓原始细胞5%~9%,外周血原始细胞2%~4%,无Auer小体)、MDS-EB-2型(骨髓原始细胞10%~19%,外周血原始细胞5%~19%或有Auer小体)、MDS-U型(MDS不能分类)。根据IPSS-R^[5]进行预后评分,包括极低危组(≤ 1.5 分)、低危组(1.6~3分)、中危组(3.1~4.5分)、高危组(4.6~6分)、极高危组(>6 分)。采用R显带技术进行染色体核型分析,分析 ≥ 20 个分裂象、克隆性异常核型分析 ≥ 10 个分裂象,未达要求者予以排除,参照《人类细胞遗传学国际命名体系(ISCN2016)》进行核型描述。复杂核型异常是指3种或以上无关染色体异常^[6]。单体核型是指存在2个以上常染色体单体或单独1个常染色体单体但是同时存在至少1个额外的结构异常^[7-8]。

1.2 治疗方法 根据IPSS-R并结合患者的整体情况选择治疗方案,IPSS-R低危组及部分高龄、身体情况欠佳的中、高危组MDS患者以支持治疗为主,主要包括输血、去铁治疗及红细胞生成素、巨噬细胞集落刺激因子

(M-CSF)、雄激素、维甲酸等治疗;IPSS-R中危、高危、极高危组患者主要采用去甲基化治疗、化疗、异基因造血干细胞移植等治疗。

1.3 随访 初诊患者自确诊MDS当天开始随访,死亡患者随访至死亡日,存活患者随访至2018年1月31日,通过住院病历、门诊病历及电话进行随访,观察总生存时间(患者确诊MDS起至死亡的时间或至随访结束的时间)和转化为AML(转白)的时间。

1.4 观察指标 (1)观察伴3号染色体异常患者临床特征,并与伴其他染色体异常患者的临床特征作比较;(2)比较伴3号染色体异常与复杂核型、单体核型患者的预后。

1.5 统计学处理 应用SPSS18.0统计软件;正态分布的计量资料以 $\bar{x} \pm s$ 表示,组间比较采用两独立样本t检验;非正态分布的计量资料以 $M(P_{25}, P_{75})$ 表示,组间比较采用Wilcoxon秩和检验;计数资料以频数和构成比表示,组间比较采用 χ^2 检验;采用Kaplan-Meier法绘制生存曲线,不同类型或临床特征患者生存率的比较采用log-rank检验。 $P < 0.05$ 为差异有统计学意义。

2 结果

2.1 伴3号染色体异常患者临床特征 本研究283例MDS患者中伴染色体异常患者127例(44.88%),其中伴3号染色体异常13例(4.59%),男11例,女2例;年龄35~79岁,平均58.23岁;MDS-EB-1型1例,MDS-EB-2型10例,MDS-MLD型1例,MDS-U型1例,MDS分型以MDS-EB-2型最为多见;delz(3q)4例(30.77%);t(3q)4例(30.77%),其中t(3;3)易位1例;der(3q)3例(23.08%);3p异常2例(15.38%)。该13例伴3号染色体异常患者IPSS-R分类均属于极高危组,具体核型资料见表1。

2.2 伴3号染色体异常患者与伴其他染色体异常患者的临床特征比较 两类患者性别、年龄、ANC、Hb、PLT比较差异均无统计学意义(均 $P > 0.05$);伴3号染色体异常患者骨髓原始细胞比例、复杂核型比例、单体核型比例均高于伴其他染色体异常患者(均 $P < 0.05$);见表2。

2.3 伴3号染色体异常与复杂核型、单体核型患者预后比较 13例伴3号染色体异常患者中5例转化为AML,中位转白时间3.7个月,中位生存时间8.0个月。伴3号染色体异常与复杂核型、单体核型患者1年生存率分别46.15%、53.57%、58.67%,伴3号染色体异常患者1年生存率与复杂核型、单体核型患者比较差异均无统计学意义(均 $P > 0.05$),见图1-2。

表1 13例伴3号染色体异常MDS患者的核型资料

序号	性别	年龄(岁)	MDS分型	染色体核型	转白	总生存	IPSS-R
					时间(月)	时间(月)	评分(分)
1	男	58	MDS-EB-2	44,XY,del(3)(q21),add(4)(p15),-5,der(7),der(8),-21[9]	1.47	2.07	10.5
2	女	52	MDS-U	47,XX,-5,+8,+der(10)(q21),-20,-21,+mar1,+mar2[11]/47,XX,del(3)(p14),+8,add(11)(q24),+mar1,+mar2[2]/47,idem,der(1)(p22)[1]	-	50 ⁺	7.5
3	男	56	MDS-EB-2	46,XY,t(3;12)(q22;q23),del((5)(q31),t(4;6)(q21;q23),del(7)(q21)[4]/46,XY[7]	-	2.57	9.5
4	男	65	MDS-EB-2	46,XY,inv(9)(p11,q12)[5]/46,idem,t(3;5)(q25;q34)[6]	1.87	16	10.5
5	男	78	MDS-MLD	46,XY,der(3)t(3;6)(q22;p10),der(6)(p10),+8,-20,add(21)(p10)[3]/46,XY,add(7)(q35),+del(8)(p22),del(15)(q22),-20,add(21)(p10)[1]/46,XY[7]	-	40	8
6	男	57	MDS-EB-1	44,XY,-3,der(5)t(3;5)(q25;q12),-7[7]/46,XY[3]	12	19	9.5
7	男	39	MDS-EB-2	46,XY,t(3;3)(q21;q26)[18]/45,XY,t(3;3)(q21;26),-19[2]	-	8	6.5
8	男	78	MDS-EB-2	47,XY,add(3)(p24),del(4)(p15),der(6)(q22),del(7)(q11q21),del(7)(q11),+8,-9,der(10)(q23),del(11)(q22),-12,del(13)(q21),del(15)(q12),-17,del(20)(q11),+mar1-3[10]	2.67	2.83	9
9	男	36	MDS-EB-2	43,XY,der(3)t(3;20)(q13;q12),del(15)(q13),der(7)(q21),add(12)(q24),der(13)(q21),-15,del(17)(q22),-18,del(20)(q12),-22[9]/46,XY[1]	0.67	4	10.5
10	男	56	MDS-EB-2	46,XY,del(5)(q10),+8,der(9)t(9;11)(p21;q12),-12,add(17)(p53)[3]/46,idem,del(3)(q13q23),der(11)t(11;12)(p10;q10)[6]/47,idem,del(3)(q13q23),+6[4]/46,idem,del(3)(q13q23),del(11)(q14)[2]	-	3.77	9.5
11	女	79	MDS-EB-2	43,XX,-2,del(3)(q21),der(5)(q14),-7,der(12)(p10),-13,-16,-17,der(20)(p12),+22,+mar[11]/46,XX[3]	-	5.2	11.5
12	男	68	MDS-EB-2	46,XY,del(1)(p22p31),-11,+mar[2]/46,idem,del(9)(q31)[4]/46,idem,del(3)(q10)[1]/46,XY[2]	-	12 ⁺	8
13	男	35	MDS-EB-2	45,XY,der(3)(q22),-16,der(17)t(16;17)(q10;q10)[14]/45,idem,i(11q)(q10)[5]/45,XY,der(3)(q22),-16,der(17)t(16;17)(q10;q10),der(13)(q21)[2]/46,XY[1]	-	12 ⁺	8

表2 伴3号染色体异常患者与伴其他染色体异常患者临床特征比较

临床特征	伴3号染色体 异常患者(n=13)	伴其他染色体 异常患者(n=114)	t/χ^2 值	P值
	n	n		
性别(男/女,n)	11/2	65/49	3.698	0.054
年龄(岁)	58.23 ± 15.30	60.93 ± 16.62	-0.512	0.616
ANC(%)	1.42 ± 1.08	2.09 ± 1.30	-1.466	0.149
Hb(g/L)	7.28 ± 1.34	8.10 ± 2.39	-1.964	0.061
PLT(×10 ⁹ /L)	49(24,96)	57(37,103)	-0.427	0.669
骨髓原始细胞比例(%)	12.0(9.5,19.0)	7.0(3.5,11.0)	-2.934	0.003
复杂核型[n(%)]	11(84.62)	28(24.56)	19.778	0.000
单体核型[n(%)]	11(84.62)	22(19.30)	25.886	0.000

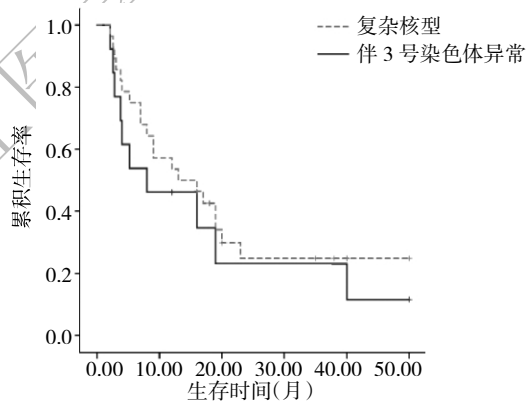


图1 伴3号染色体异常与复杂核型患者生存曲线比较

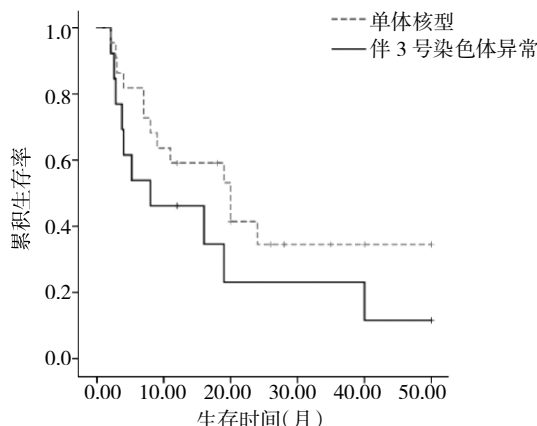


图2 伴3号染色体异常与单体核型患者生存曲线比较

3 讨论

本研究283例MDS患者中伴染色体异常的127例，占44.88%，与文献报道相符^[9]；共检出伴3号染色体异常的13例，占4.59%，分别是del(3q)、t(3;v)、der(3)、3p，与文献报道基本一致^[10]。此外，在13例伴3号染色体异常患者中，还有1例是t(3;5)(q25;q34)，可形成NPM1-MLF1融合基因。t(3;5)(q25;q34)常见于AML患者，且常伴有WT1过表达，可伴有FLT3和IDH2突

变,预后中等^[11]。本例患者50d就转化为AML,这与Sharp等^[12]报道结果相似,提示MDS患者出现t(3;5)(q25;q34)可能预后较差。

复杂核型是MDS患者预后不良的重要因素之一。Valcárcel等^[13]研究发现,无论是只有3个染色体异常的复杂核型还是大于3个染色体异常的非常复杂的复杂核型都是影响患者总生存时间的最危险因素之一。研究表明,尽管单体核型算不上是影响MDS患者预后最危险的因素,但也是预后不良因素之一^[13-14]。为此,本研究分析了伴3号染色体异常MDS患者复杂核型、单体核型比例,结果显示,伴3号染色体异常患者中复杂核型、单体核型比例均高达84.62%,远远高于伴其他染色体异常患者。本研究还比较了伴3号染色体异常患者与复杂核型、单体核型患者的预后情况,发现他们的差异均无统计学意义。

综上所述,在MDS患者中伴3号染色体异常者并不少见,多为MDS-EB-2型,常与其他染色体异常共存,多属于单体核型或复杂核型。伴3号染色体异常MDS患者转化为AML的风险明显增加,预后极差。

4 参考文献

- [1] Greenberg P, Cox C, LeBeau MM, et al. International scoring system for evaluating prognosis in myelodysplastic syndromes [J]. Blood, 1997, 89: 2079-2088.
- [2] Metze K, Reis-Alves SC, Lorand-Metze I. The World Health Organisation classification of myelodysplastic syndromes contains prognostically relevant information beyond the prognostic scores IPSS-R or WPSS[J]. European Journal of Cancer, 2017, 72: 266-268.
- [3] Greenberg PL, Tuechler H, Schanz J, et al. Revised international prognostic scoring system for myelodysplastic syndromes [J]. Blood, 2012, 120(12): 2454-2465.
- [4] Hong M, He G. The 2016 Revision to the World Health Organization Classification of Myelodysplastic Syndromes[J]. J Transl Int Med, 2017, 5(3): 139-143.
- [5] 中华医学会血液学分会.骨髓增生异常综合征诊断与治疗中国专家共识(2014年版)[J].中华血液学杂志,2014,35(11):1042-1048.
- [6] Arber DA, Orazi A, Hasserjian R, et al. The 2016 revision to the World Health Organization classification of myeloid neoplasms and acute leukemia[J]. Blood, 2016, 127(20): 2391-2405.
- [7] Breems DA, Van Putten WL, De Greef GE, et al. Monosomal karyotype in acute myeloid: a better indicator of poor prognosis than a complex karyotype[J]. J Clin Oncol, 2008, 26(29): 4791-4797.
- [8] Patnaik MM, Hanson CA, Hodnefield JM, et al. Monosomal karyotype in myelodysplastic syndromes, with or without monosomy 7 or 5, is prognostically worse than an otherwise complex karyotype [J]. Leukemia, 2011, 25(2): 266-270.
- [9] Bernasconi P, Klersy C, Boni M, et al. World Health Organization classification in combination with cytogenetic markers improves the prognostic stratification of patients with de novo primary myelodysplastic syndromes[J]. Br J Haematol, 2007, 137(3): 193-205.
- [10] Gráschel S, Sanders MA, Hoogenboezem R, et al. A single oncogenic enhancer rearrangement causes concomitant EVI1 and GATA2 deregulation in leukemia[J]. Cell, 2014, 157 (2): 369-381.
- [11] Dumézy F, Renneville A, Mayeur-Rousse C, et al. Acute myeloid leukemia with translocation t(3;5): new molecular insights. Haematologica[J]. 2013, 98(4): e52-54.
- [12] Sharp RA, Robertson J, Heppleston AD. t (3;5)(q21;q31) in a myelodysplastic syndrome[J]. Leuk Res, 1987, 11(7): 629-633.
- [13] Valcárcel D, Adem à V, Solé F, et al. Complex, not monosomal, karyotype is the cytogenetic marker of poorest prognosis in patients with primary myelodysplastic syndrome[J]. J Clin Oncol, 2013, 31(7): 916-922.
- [14] Xing R, Li C, Gale RP, et al. Monosomal karyotype is an independent predictor of survival in patients with higher-risk myelodysplastic syndrome[J]. Am J Hematol, 2014, 89(10): E163-168.

(收稿日期:2018-12-27)

(本文编辑:李媚)

(上接第1032页)

93-103. DOI: 10.1002/jor.23328.

- [14] Cassell M, Wright D. Topography of projections from the medial prefrontal cortex to the amygdala in the rat[J]. Brain Res Bull, 1986, 17: 321-333. PMID: 2429740.
- [15] Christie M, Summers R, Stephenson J, et al. Excitatory amino acid projections to the nucleus accumbens septi in the rat: A retrograde transport study utilizing [3H] aspartate and [3H] GABA [J]. Neuroscience, 1987, 22: 425-439. PMID: 2823173.
- [16] Reep R, Corwin J. Topographic organization of the striatal and

thalamic connections of rat medial agranular cortex[J]. Brain Res, 1999, 841: 43-52. PMID: 10546986.

- [17] Cao H, Gao YJ, Ren WH, et al. Activation of extracellular signal-regulated kinase in the anterior cingulate cortex contributes to the induction and expression of affective pain[J]. J Neurosci, 2009, 29 (10): 3307-3321. DOI: 10.1523/JNEUROSCI.4300-08.2009.

(收稿日期:2018-12-17)

(本文编辑:严玮雯)